

九州大学 工学部 正員 山崎徳也

〃 〃 〃 山崎徳也

| まえがき 先に著者らは曲げねじれ剛性を無視し得るとき断面を有する円形曲り梁の面外自由振動の解析について報告<sup>(1)</sup>を行ひ、その中で両端ヒンジおよび両端固定の振動数方程式を示した。本研究は振動数方程式による連続あるいは複合円形曲り梁構造の振動解析の拡張を目的として、前報告において得た基本式より円形曲り梁の面外振動たわみ角式を説明し、もとづかく構造物の振動解析の統一手法を確立せんとするものである。尚、基本式の説明に当つては円形曲り梁の軸面内の変位およびねじれ中心の断面中心からのずれを無視した。円形曲り梁の面外振動に関する既往研究としては、平井教授、深沢両氏<sup>(2)</sup>の軸面内変位を無視し、せん断中心の断面中心からのずれを考慮した直接解および小松教授、中井両氏<sup>(3)</sup>の両者を考慮した基礎微分方程式に基づき Galerkin 法の適用による近似解などが見受けられるが、それも前述したごとく本研究とは取扱い手法において内容形態を異にする。

2 円形曲り梁の基礎微分方程式 円形曲り梁の軸半径を  $R$  と表わせば  
梁に働く面外鉛直荷重強度  $\gamma$ 、ねじれモーメント荷重強度  $m$  と曲げモーメント  $M$ 、せん断力  $Q$ 、ねじれモーメント  $T$  との間に成立すべき力の釣合条件は図-1を参照して次式のごとく得られる。

$$\frac{dQ}{ds} + p = 0 \quad (1) \quad \frac{dM}{ds} - \frac{T}{R} - Q = 0 \quad (2) \quad \frac{M}{R} + \frac{dT}{ds} + m = 0 \quad (3)$$

次に梁の鉛直たわみ  $w$ 、たわみ角およびねじれ角をそれぞれ  $w$ ,  $\varphi$ ,  $\psi$  とすればこれら変位と応力との関係は次式で表わされる。

$$\frac{dw}{ds} = \varphi \quad (4) \quad \frac{d\varphi}{ds} = -\frac{M}{EI} - \frac{\psi}{R} \quad (5) \quad \frac{d\psi}{ds} = \frac{T}{GJ} + \frac{\varphi}{R} \quad (6)$$

ただし  $EI$  および  $GJ$  はそれぞれ円形曲り梁の曲げ剛性およびねじれ剛性である。以上 6 式において、 $S = R\theta$ ,  $\bar{p} = Rp$ ,  $\bar{\psi} = R\psi$  なる置き換えを行ふ  $M$ ,  $Q$ ,  $T$  および  $p$  を消去すれば  $w$ ,  $\bar{\psi}$  は次式を得る。

$$\frac{d^4w}{d\theta^4} - \mu \frac{d^2w}{d\theta^2} + (1+\mu) \frac{d^2\bar{\psi}}{d\theta^2} - \frac{R^4}{EI} p = 0 \quad (7) \quad (1+\mu) \frac{d^2w}{d\theta^2} - \mu \frac{d^2\bar{\psi}}{d\theta^2} + \bar{\psi} - \frac{R^3}{EI} m = 0 \quad (8)$$

ただし  $\mu = GJ/EI$  である。式(7), (8)より  $\bar{\psi}$  を消去すれば鉛直たわみ  $w$  に関する次式が得られる。

$$\frac{d^6w}{d\theta^6} + 2 \frac{d^4w}{d\theta^4} + \frac{d^2w}{d\theta^2} = \frac{R^4}{EI} \left( \frac{d^2p}{d\theta^2} - \frac{p}{\mu} \right) + \frac{1+\mu}{\mu} \frac{R^3}{EI} \frac{d^2m}{d\theta^2} \quad (9)$$

式(9)より  $w$  を求むれば式(1)～(6)より変位および応力の諸量が次の如く求められる。

$$\varphi = w' \quad (10a) \quad \bar{\psi} = -\frac{\mu}{1+\mu} w^{(4)} - \frac{1+2\mu}{1+\mu} w'' + \frac{\mu}{1+\mu} \frac{R^4}{EI} p + \frac{R^3}{EI} m \quad (10b)$$

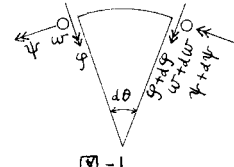
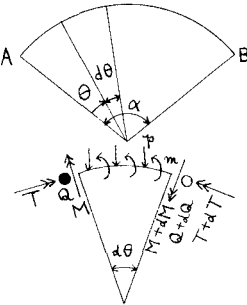
$$M = -\frac{EI}{R^2} (w'' + \bar{\psi}) \quad (10c) \quad T = \frac{GJ}{R^2} (\bar{\psi}' - w') \quad (10d) \quad Q = -\frac{GJ}{R^2} [w''' - \mu w' + (1+\mu)\bar{\psi}'] \quad (10e)$$

3 円形曲り梁の面外自由振動 円形曲り梁の単位長当りの質量を  $p$  とし、回転慣性を無視すれば自由振動時の荷重強度  $\gamma$ ,  $m$  は  $p = -\rho \frac{d^2w}{dt^2}$ ,  $m = 0$  とえられると、これらを式(9)に代入して円形曲り梁の面外自由振動の基本式が次のように得られる。

$$\frac{d^6w}{d\theta^6} + 2 \frac{d^4w}{d\theta^4} + \frac{d^2w}{d\theta^2} + \frac{pR^4}{EI} \frac{d^2}{dt^2} \left( \frac{d^2w}{d\theta^2} - \frac{w}{\mu} \right) = 0 \quad (11)$$

ここで  $w(\theta, t) = W(\theta) \sin \omega t$  とおき式(11)に代入すれば  $w$  の基準函数  $W$  に関する次式を得る。

$$\frac{d^6W}{d\theta^6} + 2 \frac{d^4W}{d\theta^4} + (1-\lambda^4) \frac{d^2W}{d\theta^2} + \frac{\lambda^4}{\mu} W = 0 \quad (12)$$



ただし  $\lambda^4 = \rho \omega^2 R^4 / EI$ ,  $\omega$  は円形曲り梁の固有角振動数である。式(12)の一般解は  $0 < \frac{1}{\mu} < 2.6$  の範囲で  $\lambda^4 > 24.67$  の範囲で次式となる。

$$W(\theta) = C_1 \cosh X\theta + C_2 \sinh X\theta + C_3 \cosh Y\theta + C_4 \sinh Y\theta + C_5 \cos Z\theta + C_6 \sin Z\theta \quad (13)$$

ここで定数  $X, Y, Z$  は次の各式から決定せらる。

$$X^4 + 2X^2 + (-\lambda^4)X^2 + \frac{\lambda^4}{\mu} = 0, \quad Y^4 + 2Y^2 + (-\lambda^4)Y^2 + \frac{\lambda^4}{\mu} = 0, \quad Z^4 - 2Z^2 + (-\lambda^4)Z^2 - \frac{\lambda^4}{\mu} = 0 \quad (X, Y, Z > 0) \quad (14)$$

#### 4 円形曲り梁の面外振動たわみ角式

円形曲り梁の面外振動たわみ角式を説明するに当たって、部材端における応力および変位に関する次の規約をもとげよ。

[1] 内側の中心方向に進む右ねじの回転方向と曲げモーメント  $M$  およびたわみ角  $\psi$  の正の方向とする。

[2] 考える部材端と内側の中心を結ぶ法線を部材端を中心と時計回りに  $90^\circ$ だけ回転させた接線方向に進む右ねじの回転方向をねじりモーメント  $T$  およびねじれ角  $\varphi$  の正の方向とする。

[3] 考える部材端のせん断力  $Q$  は、他端を中心として部材と時計回りに回転せることを正とする。

[4] 鉛直たわみ  $w$  は下向きを正とする。

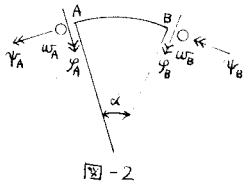
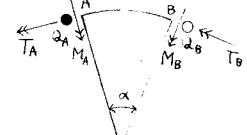


図-2

以上の符号規約を図示すれば 図-2 のことになる。次にたわみ角  $\psi$ 、ねじれ角  $\varphi$ 、曲げモーメント  $M$  およびせん断力  $Q$  へ規準函数をもつて重、正、 $M$ 、 $T$  および  $Q$  とすれば式(10a)～(10e)および(13)より次式を得る。

$$\begin{bmatrix} W \\ M \\ T \\ Q \end{bmatrix} = \begin{bmatrix} \cosh X\theta & \sinh X\theta & \cosh Y\theta & \sinh Y\theta & \cos Z\theta & \sin Z\theta \\ X \sinh X\theta & X \cosh X\theta & Y \sinh Y\theta & Y \cosh Y\theta & -Z \sin Z\theta & Z \cos Z\theta \\ f_1 \cosh X\theta & f_1 \sinh X\theta & f_2 \cosh Y\theta & f_2 \sinh Y\theta & f_3 \cos Z\theta & f_3 \sin Z\theta \\ g_1 \cosh X\theta & g_1 \sinh X\theta & g_2 \cosh Y\theta & g_2 \sinh Y\theta & g_3 \cos Z\theta & g_3 \sin Z\theta \\ h_1 \sinh X\theta & h_1 \cosh X\theta & h_2 \sinh Y\theta & h_2 \cosh Y\theta & h_3 \sin Z\theta & -h_3 \cos Z\theta \\ i_1 \sinh X\theta & i_1 \cosh X\theta & i_2 \sinh Y\theta & i_2 \cosh Y\theta & -i_3 \sin Z\theta & i_3 \cos Z\theta \end{bmatrix} \cdot \begin{bmatrix} C_1 \\ C_2 \\ C_3 \\ C_4 \\ C_5 \\ C_6 \end{bmatrix} \quad (15)$$

$$\begin{aligned} f_1 &= -(YX^4 + \delta X^2 - \gamma \lambda^4), \quad f_2 = -(Y^4 + \delta Y^2 - \gamma \lambda^4), \quad f_3 = -(\gamma Z^4 - \delta Z^2 - \gamma \lambda^4), \quad g_1 = \gamma(X^4 + X^2 - \lambda^4), \quad g_2 = \gamma(Y^4 + Y^2 - \lambda^4) \\ g_3 &= \gamma(Z^4 - Z^2 - \lambda^4), \quad h_1 = -X\{YX^4 + \delta X^2 + (-\gamma \lambda^4)\}, \quad h_2 = -Y\{Y^4 + \delta Y^2 + (-\gamma \lambda^4)\}, \quad h_3 = Z\{Z^4 - \delta Z^2 + (-\gamma \lambda^4)\}, \quad i_1 = \mu X\{X^4 + 2X^2 + (-\gamma \lambda^4)\} \\ i_2 &= \mu Y\{Y^4 + 2Y^2 + (-\gamma \lambda^4)\}, \quad i_3 = -\mu Z\{Z^4 + 2Z^2 + (-\gamma \lambda^4)\}, \quad \gamma = \mu/(1+\mu), \quad \delta = (\mu+2\mu)/(1+\mu) \end{aligned}$$

さて、2. 部材端 A, B における諸変位および諸応力を式(15)に  $\theta = 0$  および  $\alpha = 0$  と代入して次の各式で与えられる。

$$\begin{bmatrix} W_A \\ M_A \\ T_A \\ Q_A \\ W_B \\ M_B \\ T_B \\ Q_B \end{bmatrix} = \begin{bmatrix} 1 & 0 & 1 & 0 & 1 & 0 \\ 0 & X & 0 & Y & 0 & Z \\ f_1 & 0 & f_2 & 0 & f_3 & 0 \\ \cosh X\alpha & \sinh X\alpha & \cosh Y\alpha & \sinh Y\alpha & \cos Z\alpha & \sin Z\alpha \\ X \sinh X\alpha & X \cosh X\alpha & Y \sinh Y\alpha & Y \cosh Y\alpha & -Z \sin Z\alpha & Z \cos Z\alpha \\ f_1 \cosh X\alpha & f_1 \sinh X\alpha & f_2 \cosh Y\alpha & f_2 \sinh Y\alpha & f_3 \cos Z\alpha & f_3 \sin Z\alpha \end{bmatrix} \cdot \begin{bmatrix} C_1 \\ C_2 \\ C_3 \\ C_4 \\ C_5 \\ C_6 \end{bmatrix} \quad (16)$$

$$\begin{bmatrix} \bar{M}_A R^2/EI \\ \bar{T}_A R^2/GJ \\ \bar{Q}_A R^3/EI \\ \bar{M}_B R^2/EI \\ \bar{T}_B R^2/GJ \\ \bar{Q}_B R^3/EI \end{bmatrix} = \begin{bmatrix} -g_1 & 0 & -g_2 & 0 & -g_3 & 0 \\ 0 & -h_1 & 0 & -h_2 & 0 & -h_3 \\ 0 & i_1 & 0 & i_2 & 0 & i_3 \\ g_1 \cosh X\alpha & g_1 \sinh X\alpha & g_2 \cosh Y\alpha & g_2 \sinh Y\alpha & g_3 \cos Z\alpha & g_3 \sin Z\alpha \\ h_1 \sinh X\alpha & h_1 \cosh X\alpha & h_2 \sinh Y\alpha & h_2 \cosh Y\alpha & h_3 \sin Z\alpha & -h_3 \cos Z\alpha \\ i_1 \sinh X\alpha & i_1 \cosh X\alpha & i_2 \sinh Y\alpha & i_2 \cosh Y\alpha & -i_3 \sin Z\alpha & i_3 \cos Z\alpha \end{bmatrix} \begin{bmatrix} C_1 \\ C_2 \\ C_3 \\ C_4 \\ C_5 \\ C_6 \end{bmatrix} \quad (17)$$

式(16)の固有積分定数  $C_1, C_2, \dots, C_6$  を消去すれば円形曲り梁の面外振動の角式が得られ次式となる。

$$\begin{bmatrix} \bar{M}_A R^2/EI \\ \bar{T}_A R^2/GJ \\ \bar{Q}_A R^3/EI \\ \bar{M}_B R^2/EI \\ \bar{T}_B R^2/GJ \\ \bar{Q}_B R^3/EI \end{bmatrix} = \begin{bmatrix} I_{11} & I_{12} & I_{13} & I_{14} & I_{15} & I_{16} \\ I_{21} & I_{22} & I_{23} & I_{24} & I_{25} & I_{26} \\ I_{31} & I_{32} & I_{33} & I_{34} & I_{35} & I_{36} \\ I_{41} & I_{42} & I_{43} & I_{44} & I_{45} & I_{46} \\ I_{51} & I_{52} & I_{53} & I_{54} & I_{55} & I_{56} \\ I_{61} & I_{62} & I_{63} & I_{64} & I_{65} & I_{66} \end{bmatrix} \cdot \begin{bmatrix} \bar{W}_A \\ \bar{\Psi}_A \\ \bar{\Psi}_B \\ \bar{W}_B \\ \bar{\Psi}_B \\ \bar{\Psi}_B \end{bmatrix} \quad (18)$$

$$\begin{bmatrix} I_{1n} \\ I_{2n} \\ I_{3n} \\ I_{4n} \\ I_{5n} \\ I_{6n} \end{bmatrix} = \begin{bmatrix} -g_1 & 0 & -g_2 & 0 & -g_3 & 0 \\ 0 & -h_1 & 0 & -h_2 & 0 & -h_3 \\ 0 & i_1 & 0 & i_2 & 0 & i_3 \\ g_1 \cosh X\alpha & g_1 \sinh X\alpha & g_2 \cosh Y\alpha & g_2 \sinh Y\alpha & g_3 \cos Z\alpha & g_3 \sin Z\alpha \\ h_1 \sinh X\alpha & h_1 \cosh X\alpha & h_2 \sinh Y\alpha & h_2 \cosh Y\alpha & h_3 \sin Z\alpha & -h_3 \cos Z\alpha \\ i_1 \sinh X\alpha & i_1 \cosh X\alpha & i_2 \sinh Y\alpha & i_2 \cosh Y\alpha & -i_3 \sin Z\alpha & i_3 \cos Z\alpha \end{bmatrix} \begin{bmatrix} a_{1n} \\ a_{2n} \\ a_{3n} \\ a_{4n} \\ a_{5n} \\ a_{6n} \end{bmatrix}$$

$$(n=1, 2, \dots, 6)$$

$$\begin{bmatrix} a_{11} & a_{12} & a_{13} & a_{14} & a_{15} & a_{16} \\ a_{21} & a_{22} & a_{23} & a_{24} & a_{25} & a_{26} \\ a_{31} & a_{32} & a_{33} & a_{34} & a_{35} & a_{36} \\ a_{41} & a_{42} & a_{43} & a_{44} & a_{45} & a_{46} \\ a_{51} & a_{52} & a_{53} & a_{54} & a_{55} & a_{56} \\ a_{61} & a_{62} & a_{63} & a_{64} & a_{65} & a_{66} \end{bmatrix} = \begin{bmatrix} 1 & 0 & 1 & 0 & 1 & 0 \\ 0 & X & 0 & Y & 0 & Z \\ f_1 & 0 & f_2 & 0 & f_3 & 0 \\ \cosh X\alpha & \sinh X\alpha & \cosh Y\alpha & \sinh Y\alpha & \cos Z\alpha & \sin Z\alpha \\ X \sinh X\alpha & X \cosh X\alpha & Y \sinh Y\alpha & Y \cosh Y\alpha & -Z \sin Z\alpha & Z \cos Z\alpha \\ f_1 \cosh X\alpha & f_1 \sinh X\alpha & f_2 \cosh Y\alpha & f_2 \sinh Y\alpha & f_3 \cos Z\alpha & f_3 \sin Z\alpha \end{bmatrix}^{-1}$$

## 5 円形曲り梁面外振動の角式の適用例

(1) 両端ヒンジ円形曲り梁 ヒンジ端においては、鉛直たわみ  $\bar{W}$  およびねじれ角  $\bar{\Psi}$  が無く、変位としてはねじれ角  $\bar{\Psi}$  のみがあるものとすれば式(18)の円形曲り梁振動の角式により両端ヒンジの場合の円形曲り梁の端モーメント  $M_A, M_B$  が次式のごとく書き下される。

$$\bar{M}_A = \frac{EI}{R^2} (I_{12} \bar{\Psi}_A + I_{15} \bar{\Psi}_B), \quad \bar{M}_B = \frac{EI}{R^2} (I_{42} \bar{\Psi}_A + I_{45} \bar{\Psi}_B)$$

また、部材の両端 A, B における節点方程式といふは  $\bar{M}_A = 0, \bar{M}_B = 0$  が成立するもの以上4式により両端ヒンジの円形曲り梁の自由振動の固有値方程式が得られ次式となる。すなはち

$$\begin{vmatrix} I_{12} & I_{15} \\ I_{42} & I_{45} \end{vmatrix} = 0, \quad \text{すなはち} \quad I_{12} \cdot I_{45} - I_{15} \cdot I_{42} = 0$$

(2) 一端自由他端固定円形曲り梁 A 端が自由端、B 端が固定端とすれば A 端においては変位と

で鉛直たわみ  $W$ 、たわみ角  $\theta$  およびねじれ角  $\psi$  があり、B 端にあらへては変位は生じない。また A 端における曲げモーメント  $\bar{M}_A$  ねじれモーメント  $\bar{T}_A$  よびせん断力  $\bar{Q}_A$  は次式で表わされるが自由端におけるこれららの値は全て 0 に等しい。すなはち

$$\bar{M}_A = \frac{EI}{R^2} (I_{11}W_A + I_{12}\theta_A + I_{13}\psi_A) = 0, \quad \bar{T}_A = \frac{EI}{R^2} (I_{21}W_A + I_{22}\theta_A + I_{23}\psi_A) = 0, \quad \bar{Q}_A = \frac{EI}{R^3} (I_{31}W_A + I_{32}\theta_A + I_{33}\psi_A) = 0$$

以上の 3 式よりこの場合の自由振動の固有値方程式が得られ次式となる。

$$\begin{vmatrix} I_{11} & I_{12} & I_{13} \\ I_{21} & I_{22} & I_{23} \\ I_{31} & I_{32} & I_{33} \end{vmatrix} = 0, \quad \text{すなはち} \\ I_{11}I_{22}I_{33} + I_{21}I_{32}I_{13} + I_{31}I_{12}I_{23} - (I_{31}I_{22}I_{13} + I_{11}I_{32}I_{23} + I_{21}I_{12}I_{33}) = 0$$

(3) 一端ヒンジ他端固定の円形曲り梁 A 端がヒンジ端、B 端が固定端とすれば A 端にあらへたわみ角  $\theta_A$  のみが存在し、B 端にあらへては変位はない。次に式(18)より A 端の曲げモーメント  $\bar{M}_A$  を書き下せば次式が得られる。すなはち、

$$\bar{M}_A = \frac{EI}{R^2} \cdot I_{12} \cdot \theta_A$$

しかも A 端はヒンジ端であるからこの値は 0 になければならない。したがってこの場合の自由振動の固有値方程式となり、 $I_{12} = 0$ 、を得る。

(4) 中間支承を有する 2 スパン連続円形曲り梁 中間ヒンジを B、両端をそれとすれば A、C とすれば円形曲り梁の面外振動方程式(18)より端モーメント式として次の各式を得る。

$$\bar{M}_{AB} = \frac{EI}{R^2} (I_{12}\theta_A + I_{15}\theta_B), \quad \bar{M}_{BA} = \frac{EI}{R^2} (I_{42}\theta_A + I_{45}\theta_B), \quad \bar{M}_{BC} = \frac{EI}{R^2} (I_{12}\theta_B + I_{15}\theta_C), \quad \bar{M}_{CB} = \frac{EI}{R^2} (I_{42}\theta_B + I_{45}\theta_C)$$

また節点 A、B、C におけるモーメントのつり合いを考えれば次式が得られる。

$$\bar{M}_{AB} = 0, \quad \bar{M}_{BA} + \bar{M}_{BC} = 0, \quad \bar{M}_{CB} = 0$$

以上の 6 式よりこの場合の固有値方程式となり次式が得られる。すなはち

$$\begin{vmatrix} I_{12} & I_{15} & 0 \\ I_{42} & I_{45} + I_{12} & I_{15} \\ 0 & I_{42} & I_{45} \end{vmatrix} = 0, \quad \text{すなはち} \\ (I_{12} + I_{45}) \begin{vmatrix} I_{12} & I_{15} \\ I_{42} & I_{45} \end{vmatrix} = 0 \quad I_{12} + I_{45} = 0 \\ I_{12} \cdot I_{45} - I_{15} \cdot I_{42} = 0$$

6 数値計算 5において得た各種境界条件を有する円形曲り梁及び 2 スパン連続円形曲り梁の自由振動の固有値方程式を中心角  $\alpha = 60^\circ$  の場合を例にとり数値計算を行い固有値入と算定した。得られた結果を表-1 に示す。

7 あとがき 振動の解法は微分方程式と個々に直接解くのとは異り、一貫して取扱い手法が不静定構造に広く適用しうる多用性を特色とするものであり、本研究では円形曲り梁の面外振動の算例に限るが直線材の振動の解式を併用すれば各種格子やラーメン構造の振動解が可能となる。

A	B	A	B
2.735	2.297	3.958	2.735 3.958
5.864	5.142	6.647	5.864 6.647
8.909	8.172	9.674	8.909 9.674
		11.188	
11.930		12.690	11.930 12.690

表-1 入-値 ( $\lambda^2 = \rho\omega^2 R^4/EI$ )

参考文献 (1) 山崎徳也・崎山毅「円形曲り梁の面外自由振動」土木学会西部支部研究発表会 昭和42.1.30

(2) 平井敦・深沢泰晴「曲線橋の振動の解」第19回土木学会年次学術講演会

(3) 小松定夫・中井博「曲線行橋の自由振動に関する研究」土木学会論文集 第136号